

**STUDIAREA SI IMBUNATATIREA
DISTRIBUTIEI INCARCATURILOR PE
AXUL CILINDRULUI DE ACTIONARE
AL UNEI BENZI TRANSPORTOARE,
CU O IMBINARE CONSOLA LA
GRUPUL REDUCTORULUI
MOTORULUI**

Conf. univ. dr. ing. Tsvetan Damyanov
Universitatea de Minerit si Geologie “St. Ivan
Rilski”, 1700 Sofia

REZUMAT: *A fost studiată încărcarea unui ax al cilindrului de acționare al unei benzi transportoare cu două acționari ale cilindrului și imbinare consola (pendul) la grupul reductorului motorului. Pe lângă distribuția deformațiilor și tensiunii, reacțiile forței în pivotii axului și la imbinările grupului reductorului motorului, cu cadrul stației de acționare, au fost, de asemenea analizate. A fost sugerată o schemă principală a egalizatorului mecanic, pentru reducerea reacției forței, care încarcă pivotii sferici în pivotii axului.*

Cuvinte cheie: cilindru, banda transportoare, egalizator mecanic, pivoti sferici, pivotii axului.

Introducere

Siguranta operationala si perioada de functionare a operatiunilor grele si benzile transportoare, foarte productive, reprezinta o caracteristica speciala, foarte importanta pentru sistemele de transport in mina, cu functionare continua. Pot fi mentionate multe motive pentru a intari declaratia de mai sus. Unul dintre acestea face referire la scara ridicata de pierderi directe si indirecte ale productiei, in cazul accidentelor in sistemul mecanic. Pe de alta parte, supraincercarea mecanica a elementelor, le reduce timpul de functionare. Facand referire la cele mentionate mai sus, se poate conchide ca studierea valorii sistemelor de actionare pentru benzile transportoare, presiunile si reactiile de forta

**STUDYING AND IMPROVING THE
DISTRIBUTION OF LOADS ON THE
SHAFT OF A DRIVING DRUM OF A
BELT CONVEYER WITH A
CANTILEVER JOINT TO THE
MOTOR-REDUCER GROUP**

**Assoc. Prof. PhD. Eng. Tsvetan
Damyanov**
University of Mining and Geology “St. Ivan
Rilski”, 1700 Sofia

ABSTRACT: *The loading of the shaft of a driving drum of a belt conveyer with a two-drum drive and cantilever (pendel) joining of the motor-reducer group has been studied. In addition to the distribution of deformations and tensions, the force reactions in the bearings of the shaft and the joints of the motor-reduction group with the frame of the driving station have also been analyzed. A principal scheme of a mechanical compensator for reducing the force reaction, which loads the spherical bearings in the bearings of the shaft, has been suggested.*

Key words: driving drum, belt conveyer, mechanical compensator, spherical bearings.

Introduction

The operational safety and time of operation of the heavy-duty and highly productive belt conveyers is an especially important characteristic for the mine-transportation systems of continuous operation. Many reasons can be mentioned to substantiate the above statement. One of them is related to the large scale of direct and indirect production losses in case of accidents in the mechanical system. On the other side, mechanical overloading of the elements reduces their time of operation. With regard to the above, it may be summarized that studying the value and distribution of deformations, tensions and force reactions in

din elementele sistemului pentru actionarea benzilor transportoare, reprezinta o misiune importanta, de recent interes.

Starea discutiei si metodele de studiu

Distributia incarcaturii mecanice a cilindrilor de actionare si a arborilor acestora, pentru sistemele de actionare a multiplilor cilindrii de la benzile transportoare este mentionata ca un principiu in fig. 1. Pe langa fortele gravitationale interioare, volumetrice (G_P , P_G , P_{GR}), fortele exterioare, create de interactiunea curelei cu cilindrul (S_{in} , S_{out}) au fost, de asemenea, studiate si fortele reactiilor de la pivotii arborelui si imbinarile cardan din punctele A1 si A2. Sub actiunea fortelor de mai sus, apare o conditie complicata a fortei din cadrul obiectului studiat, care depinde, de asemenea, de tensiunea permanenta, creata de imbinarile arborelui cu capetele cilindrului si golul arborelui de actionare al reductorului [1, Damyanov]. Forta creata de reactiile din pivotii arborelui primului cilindru de actionare, este mare, deoarece actioneaza cu forte elastice mai ridicate, daca banda transportoare (S_{out} and S_{in}), care intra in contact si elimina contactul cu cilindru. Aceasta este baza care este folosita si pentru a calcula timpul de operare al rulmentilor sferici cu role, la pivotii arborelui, legati de cadru. Reducerea acestor reactii ale fortelor poate creste atat in timpul pentru functionare si siguranta operationala a unitatii de sprijin. Experienta practica a demonstrat ca toate daunele la acele unitati de suport produc accidente severe, ceea ce inseamna ca exista posibilitatea distrugerii arborelui cilindrului de actionare.

Principala misiune a studiului este reprezentata de determinarea unor variante diferite, de constructie a sistemelor de actionare, cu doi cilindrii (scheme cu motor in trei – si patru) asupra distributiei oportunitatilor pentru reducerea fortelor de reactie din cadrul pivotilor cadru si reducerea tensiunii din arborele de actionare, de

the elements of the system for driving the belt conveyers is and important engineering task of recent interest.

Status of the issue and method of the studies

The distribution of mechanical loading of the driving drums and their shafts for the systems of multi-drum drive of the belt conveyers is shown as a principle in fig. 1 In addition to the inner volumetric gravity forces (G_P , P_G , P_{GR}), the outer forces, created by the interaction of the belt with the drum (S_{in} , S_{out}) have also been studies and the force reactions in the shaft bearings and the cardan joints in points A1 and A2. Under the action of the above forces a complicated stress condition arises in the studied object, which depends also on the permanent tension, created by the joints of the shaft with the heads of the drum and the hollow driving shaft of the reducer [1, Damyanov]. The highest is the force, created by reactions in the bearings of the shaft from the first driving drum because it operates with higher tensile forces if the conveyer belt (S_{out} and S_{in}), which comes into contact and goes out of contact with the drum. That is the basis used also for calculation of the operational time of the spherical roller bearings at the bearings of the shaft, joined to the frame. The reduction of those force reactions may increase both the time for operation and the operational safety of the bearing units. Practical experience has shown that all the damages on those bearing units cause very severe accidents, which means cases of destruction of the shaft of the driving drum is also possible.

The main task of that study is determining the effect of different construction variants of the two-drum systems for driving (three- and four-motor schemes) on the distribution and opportunities for reduction of reaction forces in the frame bearings and reduction of tension in the driving shaft, as well. Another

asemenea. O alta lucrare a autorului [1] a prezentat studii similare pentru incarcatura extrema a fortei, la modulul pornire. Pentru ca perioada de functionare a unitatilor de suport este calculata pe baza incarcaturii mecanice, in regim continuu, aici, incarcatura mecanica a pivotilor cilindrului si arborele cilindrului, in mod de utilizare stationara, au fost definite, analizate si comparate.

Metoda de studiu este un studiu al modelului de simulare al obiectului real – banda transportoare cu doi cilindrii CAD-CAE, implementata in software-ul de la Cosmos Works si creat in cadrul conformitatii geometrice si fizico-mecanice cu obiectul real al unui astfel de sistem de actionare, cu doi cilindrii. Face referire la banda transportoare “TTJI № 3301” (Tabelul 1), care actioneaza la mina “Trojanovo 3” de la “Maritsa East Mines” EAD si este una dintre cele mai utilizate (cu cel mai ridicat flux de incarcatura). O aplicatie software a metodei elementelor finite a fost utilizata pentru a realiza analiza liniara, structurala (FEA) a obiectului de studiu si valorile urmatoarelor dimensiuni (tensiuni, deformari, forte de reactie, etc) au fost determinate in cadrul conditiilor si incarcaturilor, limita.

work of the author [1] has already presented similar studies for extreme force loading under the starting mode. As the time of operation of the bearing units is calculated on the basis of mechanical loading in a continuous regime, here, the mechanical loading of the bearings and the shaft of the drum in a stationary operating mode have been defined, analyzed and compared.

The method of studies is a model simulation study of a real object – two-drum belt conveyer. The simulation model is parametrical CAD-CAE, implemented in a software medium of Cosmos Works and created under the geometrical and physical-mechanical compliance with the real object of such two-drum system for driving. It refers to the belt conveyer “TTJI № 3301” (Table 1), which operates at “Trojanovo 3” mine of the “Maritsa East Mines” EAD and is one of the most heavily operated (with the highest load-flow). A software application of the finite elements method has been used for performing structural linear analysis (FEA) of the studies object and the values of the following magnitudes (tensions, deformations, force reactions etc.) have been determined under the described boundary conditions and loadings.

Tabel 1

Parametrii tehnici majori ai benzii transportoare -T7				
№	Transp ortor- T7	Cantitate formula	Unitate	Valoare
1	L	Lungime transportor	m	1162
2	Δ	Diferente totale la nivel	m	33.00
3	v_b	Viteza benzii	m/s	5.24
4	Q_o	Volum de transport	m^3/h	8000
5	ρ	Densitate masa	t/m^3	1.28
6	q_L	Greutate banda	N/m	1070
7	α_1	Arc invelire contract-I drv.cilindru.	[deg]	177^0
8	α_2	Arc invelire contract -II drv. cilindru	[deg]	190^0
9	F_o	Forta tensiune	N	180000
10	D_b	Diametru cilindru	m	1.63

Table 1

Major technical parameters of belt conveyer -T7				
Nr	Conveyor-T7	Formula quantity	Unit	Value
1	L	Conveyor length	m	1162
2	Δ	Total difference in levels	m	33.00
3	v_b	Belt speed	m/s	5.24
4	Q_o	Conveying volume	m^3/h	8000
5	ρ	Bulk density	t/m^3	1.28
6	q_L	Belt weight	N/m	1070
7	α_1	Arc of contact wrap-I drv.drum.	[deg]	177^0
8	α_2	Arc of contact wrap-II drv.drum	[deg]	190^0
9	F_o	Tension force	N	180000
10	D_b	Drum diameter	m	1.63

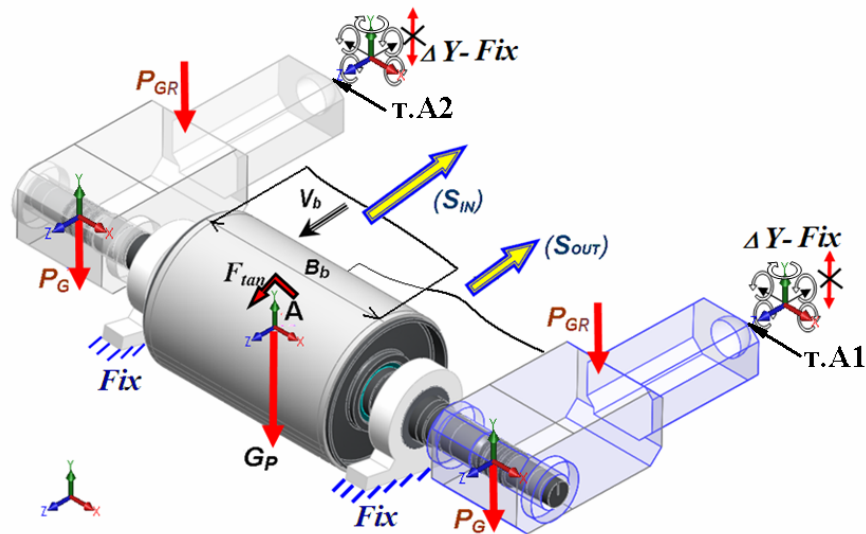


Figure 1 Cilindru de actionare, cu doua laterale, avand ansamblu consola (pendul) al unitatilor motor- reductor, unde: S_{in} reprezinta forta presiunii asupra curelei, care intra in contact cu cilindrul; S_{out} – forta presiunii partii exterioare a curelei; G_P – forta gravitacionala a cilindrului de actionare; P_G – componenta fortei gravitacionale a grupului motor - reductor; P_{GR} - forta gravitacionala a grupului motor - reductor; F_{tan} – forta tangentiala, de actionare, intre curea si cilindru.

Figure 1 Two-sided driving drum with a cantilever (pendel) assembling of the motor-reducer units, where: S_{in} is the force of stress in the belt, which comes into contact with the drum; S_{out} – force of stress of the outgoing side of the belt; G_P – gravity force of the driving drum; P_G – component of the gravity force of the motor-reducer group; P_{GR} - gravity force of the motor-reducer group; F_{tan} – tangential driving force between the belt and the drum.

Un cilindru de actionare, cu doua unitati de actionare, care sunt pozitionate bilateral, in ceea ce priveste axului cilindrului, este prezentat in fig. 1. Legatura cinematica intre axul extern al reductorului

A driving drum with two driving units, which are bilaterally positioned with regard the shaft of the drum, is shown in fig. 1. The kinematics joint between the outer shaft of the reducer and the shaft of the motor is an immovable joint, performed by tightening

și axul motorului este o legatură imobilă, realizată de inelele de etansare ale RF 7012-XXX-XXX, în conformitate cu normele DIN 7012. Suportul extern al grupului motor-reducător este legatură cinematică pe care o care cu cadrul, cu 5 grade de mobilitate (DOF=5) și care previne mișcarea liniară de-a lungul axei verticale Y- ($\square Y=0$). Cilindrul de acționare este conectat de cadrul stației de mișcare, cu doi pivoti sferici, cu DOF=3.

Caracteristicile modelului parametric CAE s-au bazat pe alte studii ale autorului [1, Damyanov] și pot fi descrise după cum urmează:

1. Presiunile mecanice, cauzate de inelele de etansare (RF7012) în zonele de contact cu axul, capetele cilindrului și orificiul cilindrului la reductor au fost suprimate, deoarece valorile dominante ale acestor presiuni fac dificilă analiza distribuției tensiunii, cauzată de forța interacțiunii între curea și cilindru și alte încărcături;

2. Modelul CEA va fi simplificat, referitor la numărul valorilor discrete ale distribuției forței tangențiale, de acționare și presiunea normală, care sunt transmise de curea cilindrului, în contact cu zona de frecare. S-a stabilit că zonele celor mai ridicate deformări și tensiuni sunt pe ax iar acele valori, sunt mai scăzute decât pentru cilindru;

3. Subiectul studiului este primul cilindru de acționare, deoarece suportă o încărcătură mai mare datorită forțelor elastice ale curelei pentru schemele consecutive (stații de acționare cu 4 motoare și 2 cilindri);

4. Încărcătura consolă pe axul cilindrului, datorită forței gravitaționale a grupului motor-reducător, nu este exprimată în parametrii, datorită faptului că programul CAE îl definește în mod automat.

Rezultate

Pe lângă o simulare a 8 variante de

rings of the RF 7012-XXX-XXX, according to the DIN 7012 norms. The other support of the motor-reducer group is the kinematics joint with the frame with 5 degrees of freedom (DOF=5) and preventing the linear displacement along the vertical axis Y- ($\square Y=0$). The driving drum is joint to the frame of the driving station by two spherical bearings with DOF=3.

The characteristics of the parametrical CAE model have been based on other studies of the author [1, Damyanov] and may be described as follows:

1. The mechanical stresses, caused by the tightening rings (RF7012) in the areas of contact with the shaft, the heads of the drum and the hollow shaft of the reducer have been suppressed, because the dominating values of those stresses make difficult the analysis of the distribution of tension, caused by the force interaction between the belt and the drum and the other loads;

2. The CEA-model will be simplified with regard the number of discrete values of the distribution of the tangential driving force and the normal pressure, which are transmitted from the belt to the drum in the contacting frictional area. It has been established that the areas of the highest deformations and tensions are on the shaft and those values are negligibly lower for the drum;

3. Subject of the study is the first driving drum, because it experiences higher loading due to tensile forces of the belt for the constructive schemes (4-motor two-drum drive stations);

4. The cantilever load on the shaft of the drum due to the gravity force of the motor-reducer group is not expressed parametrically, because the CAE program defines it automatically.

Results

Further to a simulation of 8 variants of

combinatii a doua scheme constructive (statii de actionare cu 3 si 4 motoare), 2 moduri de stationare (miscare inutila $Q_o=0 m^3/h$ si incarcatura nominala $Q_o=8000 m^3/h$) si 2 moduri de compensare (cu si fara egalizator) rezultatele reactiilor fortei in unitatile de sprijin si tensiunile (σ^{von}) in toate punctele obiectului studiat au fost obtinute si sistematizate in Tabelul 2 si Tabelul 3.

combination of two constructive schemes (3 and 4 motor driving stations), 2 stationary modes (idle move $Q_o=0 m^3/h$ and nominal load $Q_o=8000 m^3/h$) and 2 modes of compensation (with and without a compensator) the results of the force reactions in the bearing units and the tensions (σ^{von}) in all the points of the studied object have been obtained and systematized in Table 2 and Table 3.

Tabel 2 SCHEMA ACTIONARII – 4 motoare (2x1000 kW + 2x1000 kW)

$Q_o, m^3/h$	F_{in}, kN	F_{out}, kN	F_{sum}, kN	F_{tan}, kN	$M_t, N.m$	σ^{max}_{von}, MPa	F_{res}, kN ($F_{comp}=0$)	F_{res}, kN ($F_{comp}=300kN$)
0	311	242	553	62	49957	27 56	325	173
8000	672	422	1094	242	196016	65 80	558	264

Tabel 3 SCHEMA ACTIONARII – 3 motoare (2x1000 kW + 1x1000 kW)

$Q_o, m^3/h$	F_{in}, kN	F_{out}, kN	F_{sum}, kN	F_{tan}, kN	$M_t, N.m$	σ^{max}_{von}, MPa	F_{res}, kN ($F_{comp}=0$)	F_{res}, kN ($F_{comp}=300kN$)
0	311	221	533	82	66609	29 48	318	166
8000	672	341	1013	323	261355	81 98	514	216

Tabel 2 SCHEMA ACTIONARII – 4 motoare (2x1000 kW + 2x1000 kW)

$Q_o, m^3/h$	F_{in}, kN	F_{out}, kN	F_{sum}, kN	F_{tan}, kN	$M_t, N.m$	σ^{max}_{von}, MPa	F_{res}, kN ($F_{comp}=0$)	F_{res}, kN ($F_{comp}=300kN$)
0	311	242	553	62	49957	27 56	325	173
8000	672	422	1094	242	196016	65 80	558	264

Tabel 3 SCHEMA ACTIONARII – 3 motoare (2x1000 kW + 1x1000 kW)

$Q_o, m^3/h$	F_{in}, kN	F_{out}, kN	F_{sum}, kN	F_{tan}, kN	$M_t, N.m$	σ^{max}_{von}, MPa	F_{res}, kN ($F_{comp}=0$)	F_{res}, kN ($F_{comp}=300kN$)
0	311	221	533	82	66609	29 48	318	166

8000	672	341	1013	323	261355	81 98	514	216
------	-----	-----	------	-----	--------	----------	-----	-----

Vectorii reacțiilor forței care rezulta în pivotii fiecărui grup motor- reductor, sunt prezentați în figura 2 și în figura 3 iar distribuția și valorile tensiunii maxime, echivalente, σ_{von}^{max} sunt prezentate în figura 4 și figura 5.

The vectors of the resulting force reactions in the bearings of each of the motor-reducer group are shown in figure 2 and figure 3 and the distribution and values of maximum equivalent tension σ_{von}^{max} are shown in figure 4 and figure 5.

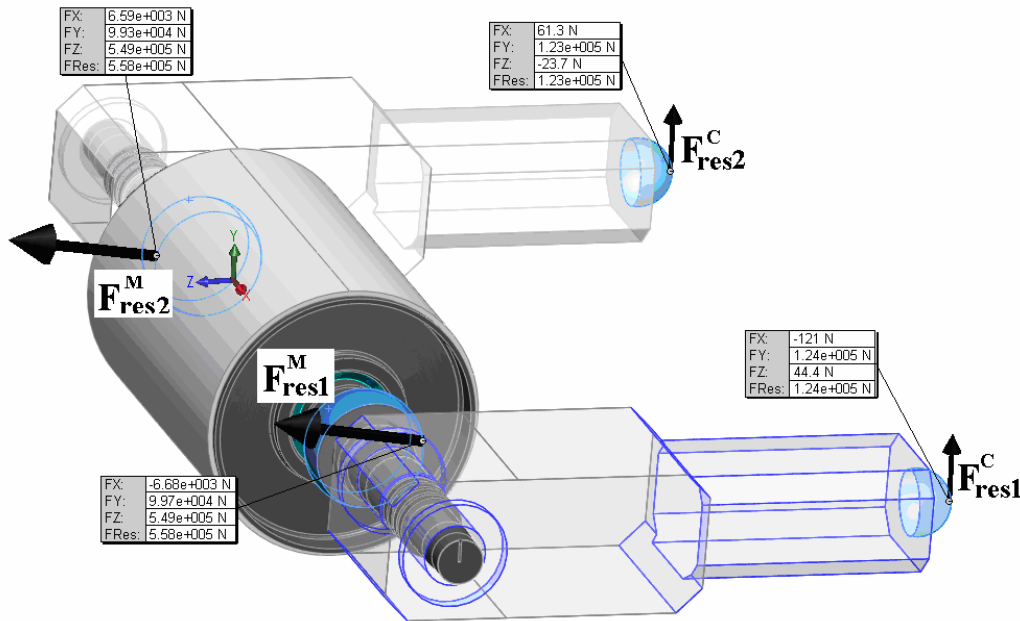


Figura 2. Reactia pivotilor la primul cilindru pentru actionarea cu doua laterale ale celor doi cilindrii (2x1000 kW + 2x1000 kW)

Figure 2. Reaction of the bearings of the first drum for two-sided drive of the two drums - 4 motors (2x1000 kW + 2x1000 kW)

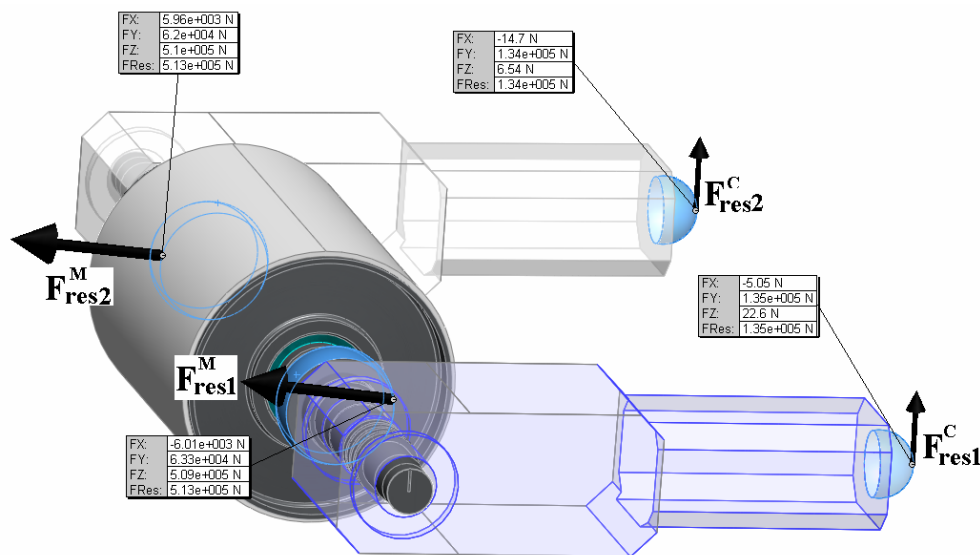


Figura 3. Reacțiile pivotilor la primul cilindru pentru acționare cu două laterale la primul cilindru și o laterală – a celui de-al doilea cilindru – 4 motoare (2x1000 kW + 1x1000 kW)

Figure 3. Reactions of the bearings of the first drum for two-sided drive of the first drum and one-sided – of the second drum – 4 motors (2x1000 kW + 1x1000 kW)

Figurile prezintă vectorii forțelor care rezultă și componentele acestora pe axa X, Y și Z sunt prezentate numeric în tabele, în fiecare dintre figuri. Continuitatea a fost stabilită pentru a forma reacții ale forței în pivotii axului, care indică faptul că valoarea dominantă este valoarea componentei pe axa Z – (F_z). Pe baza conceptului pentru compensarea parțială a componentei, a fost desemnată F_z cu o forță externă a valorii permanente. Figura 6 prezintă schema principală a structurii arcului egalizator, care poate realiza conceptul descris mai sus de către autor. Legătura surubului la rezistența arcului poate fi utilizată pentru a regla valoarea forței de compensare. Aceasta simulare pe computer a oferit rezultate după aplicarea condițională a unei $F_{comp} = 300$ kN compensate, pentru variante diferite ale modului de funcționare, cu sau fără încărcatură, și pentru sisteme de două tipuri (sistem motor 3 și 4). Reducerea vectorului la reacția care rezultă la apăsare, poate fi definită de Tabelul 2 și 3.

The figures show the vectors of the resulting forces and their components on the axis X, Y and Z are shown numerically in tables in each of the figures. Regularity has been established for the formation of force reactions in the bearings of the shaft, which indicates that the dominating value is the value of the component on the axis Z – (F_z). On that basis the concept for partial compensation of the component F_z with an outer force of permanent value has been designed. Figure 6 shows the principal scheme of the structure of a spring compensator, which may perform the above described concept of the author. The screw joint of the spring resistance may be used for adjusting the value of the compensating force. This computer simulation has given the results after conditional application of a compensating $F_{comp} = 300$ kN for different variants of the operating mode with and without loading, and for the two type systems (3 and 4 – motor system). The reduction of the vector of the resulting reaction in the bearing may be defined by Table 2 and 3.

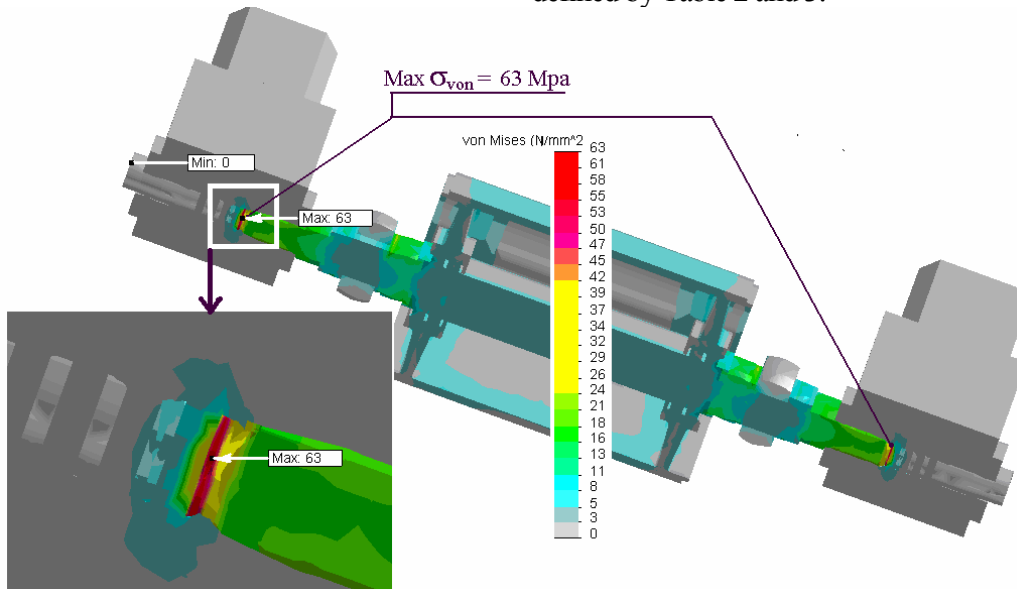


Figura 4. Distribuția tensiunilor echivalente la primul cilindru, în cazul acționării cu două laterale ale primului și celui de-al doilea cilindru

Figure 4. Distribution of equivalent tensions in the first drum in the case of two-sided drive of the first and the second drums

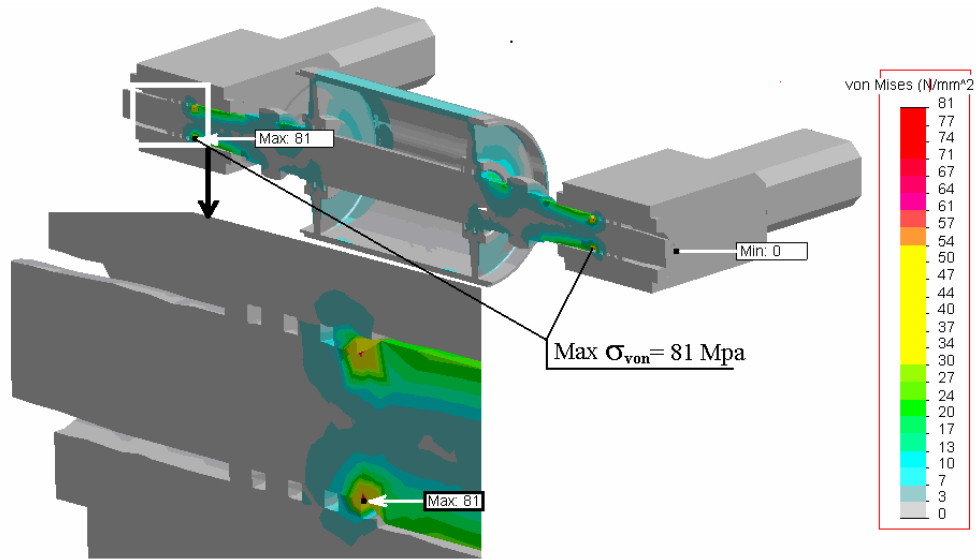


Figura 5 Distribuția tensiunilor echivalente la primul cilindru, în cazul acționării cu două laterale ale primului cilindru și acționare pe o parte a celui de-al doilea cilindru

Figure 5 Distribution of equivalent tensions in the first drum in the case of two-sided drive of the first drum and one-sided drive of the second drum

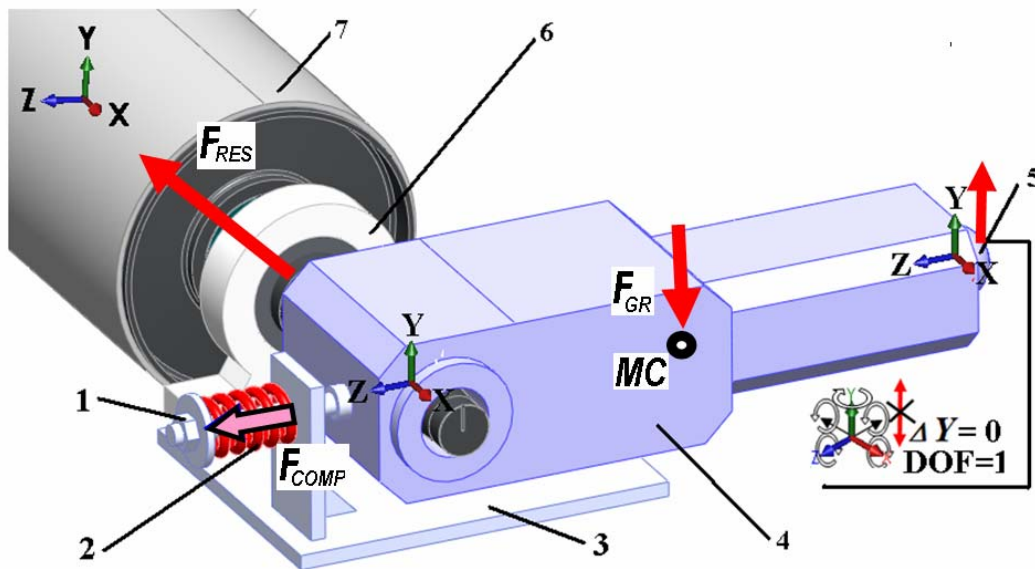


Figura 6. Schema forței Схема на силов компенсатор на лагерното натоварване
1- Bara elastică, reglabilă; 2-element arc; 3-cadru; 4-grup motor- reductor; 5-suport cardan; 6-pivot; 7- cilindru de acționare

Figure 6. Scheme of force Схема на силов компенсатор на лагерното натоварване
1-adjustable tensile bar; 2-spring element; 3-frame; 4-motor-reducer group; 5-cardan support; 6-bearing; 7-driving drum

Reducerea vectorului în cadrul reacției care rezultă poate fi determinată de Tabelul 2 și Tabelul 3. Pentru acest caz specific, pentru toate

The reduction of the vector of resulting reaction may be determined by Table 2 and Table 3. For this specific case for all variants of the

variantele de simulare a reacției care rezulta în pivotii axului, reducerea poate fi realizată de două ori.

Rezumat al comentariilor și al concluziilor

A fost realizat un studiu de modelare CAD-CAE pe computer, desenat specific pentru necesități practice. Analiza rezultatelor permite realizarea unui rezumat al următoarelor concluzii:

➤ Rulmenții cu role sferice, care au fost selectați, nu permit mobilitatea deplasării pe axa X și aceasta este o condiție pentru reacțiile forței, de-a lungul direcției axei X și un punct de aplicare în pivoti;

➤ Rezultatul acțiunii compensatorului reactiv, care a fost propus, trebuie să fie confirmat și menționat atât prin studii detaliate, de modelare și prin experimente practice, cu prototip fizic al structurii în cadrul condițiilor operaționale, reale.

BIBLIOGRAFIE

1. Damyanov, Ts. *Oportunitățile unui studiu de modelare a deformațiilor și tensiunilor la cilindrii de acționare ai benzii transportoare în programele de software CAD-CAE*, Congresul Internațional VI "Utilaj, Tehnologie, Materiale", Februarie 18 – 20, 2009 Sofia, Bulgaria.

2. Damyanov, Ts. et al. *“Trei studii dimensionale, de modelare și FEA al cilindrilor de acționare pentru curelele de transport 2250 care funcționează în condițiile minei “Maritsa East”* EAD – Raport asupra proiectului 1917/2007 al Sectorului de Cercetare Științifică al Universității de Minerit și Geologie, Arhiva Minei “Maritsa East Mines” EAD, 2007 (în Bulgară).

3. Froehlich, P. FEM – Anwendungspraxis. Wiesbaden, Vieweg, 2005, p. 266.

4. van den Heuvel, B. Messtechnische Untersuchungen und rechnerische Simulation von Förderbandantrieben, Vortrag auf dem Kolloquium “Fördertechnik im Bergbau”, RWE Power AG Technikzentrum Tagebaue / Hauptwerkstatt Grefrath / Versuchsabteilung, 2004

simulation the resulting reaction in the bearings of the shaft may be reduced twice.

Summarizing comments and conclusion

A computer modeling CAD-CAE study, specifically designed for practical needs, has been performed. The analysis of results allows the summarizing of the following conclusions:

➤ The selected spherical roller bearings do not allow freedom of linear displacement along the X axis and this is a precondition for force reactions along the direction of X axis and an application point in the bearings;

➤ The results of the action of proposed reactive compensator have to be confirmed and precised both by detailed modeling studies and by practical experiments with the physical prototype of the structure under real operational conditions.

BIBLIOGRAPHY

1. Damyanov, Ts. *The opportunities of a modeling study of deformations and tensions in driving drums of the belt conveyers in CAD-CAE software programs*, VI International congress "Machinery, Technology, Materials", February 18 – 20, 2009 Sofia, Bulgaria.

2. Damyanov, Ts. et al. *“Three-dimensional modeling, studies and FEA of the driving drums of belt conveyers 2250 operating in the conditions of “Maritsa East Mines”* EAD – Report on Project 1917/2007 of the Scientific-Research Sector of the University of Mining and Geology, Archive of the “Maritsa East Mines” EAD, 2007 (in Bulgarian).

3. Froehlich, P. FEM – Anwendungspraxis. Wiesbaden, Vieweg, 2005, p. 266.

4. van den Heuvel, B. Messtechnische Untersuchungen und rechnerische Simulation von Förderbandantrieben, Vortrag auf dem Kolloquium “Fördertechnik im Bergbau”, RWE Power AG Technikzentrum Tagebaue / Hauptwerkstatt Grefrath / Versuchsabteilung, 2004